



تأثیر فرایند نوردکاری سرد بر خواص مکانیکی، خوردگی و جهت‌گیری هیدرید در آلیاژ زیرکنیم- (1%) نیوبیم

مهدي دادفر*، مرتضى انصارى پور

شرکت سوره، سازمان انرژی اتمی، صندوق پستی: ۱۹۵۷، ۸۱۴۶۵، اصفهان - ایران

چکیده: تشکیل هیدریدهای با جهت‌گیری شعاعی، تأثیر مخربی بر خواص مکانیکی و خوردگی آلیاژ زیرکنیم حاوی (1%) نیوبیم دارد. از جمله عوامل تأثیرگذار بر تشکیل این گونه هیدریدها فرایند سردکاری است. در این مطالعه تأثیر دو دسته مراحل متفاوت نوردکاری سرد برای تولید غلاف سوخت از این جنبه مورد بررسی قرار گرفته است. پارامترهای مختلف طراحی مراحل نوردکاری بررسی و در نهایت دو روش نوردکاری به صورت ۴ مراحله‌ای (روش جدید) و ۶ مراحله‌ای (روش متعارف پیشین) از نظر ریزساختار، خواص مکانیکی، خوردگی و جهت‌گیری هیدرید مقایسه شد. نتایج آزمایشگاهی نشان داد که طراحی پاس جدید نوردکاری سرد منجر به همگنی بیشتر ریزساختار تبلور مجدد، کاهش اندازه‌ی دانه و افزایش هم‌زمان استحکام و انعطاف‌پذیری و کاهش نرخ خوردگی آلیاژ می‌شود.

کلیدواژه‌ها: آلیاژ زیرکنیم- (1%) نیوبیم، فرایند نوردکاری سرد، جهت‌گیری هیدرید

Effect of Cold Rolling Process on Mechanical, Corrosion and Hydride Orientation Properties in Zr-1%Nb Alloys

M. Dadfar*, M. Ansaripour
Soureh Co, AEOI, P.O.Box: 81465-1957, Isfahan – Iran

Abstract: A radially-oriented hydride (RH) has been known to deteriorate the final properties of fuel claddings. One of the most effective factors on formation of these hydrides is cold working process. In this work, we were concerned with two different rolling processes to find their effects on mechanical and corrosion properties, as well as, on the hydride orientation of the final tubes. The first process used was our conventional method with six different rolling passes and the other was just involved with four passes. All the microscopic, hydride orientation, mechanical and corrosion behaviors of two samples were examined. The experimental practices showed better results of newly designed cold working process in comparison with our conventional method.

Keywords: Zr-1%Nb Alloy, Cold Rolling Process, Hydride Orientation

*email: mdadfar2001@gmail.com

تاریخ دریافت مقاله: ۹۱/۳/۲ تاریخ پذیرش مقاله: ۹۲/۱/۲۹



استفاده شده است. بدین منظور، شمش‌ها در دمای حدود ۱۱۰۰

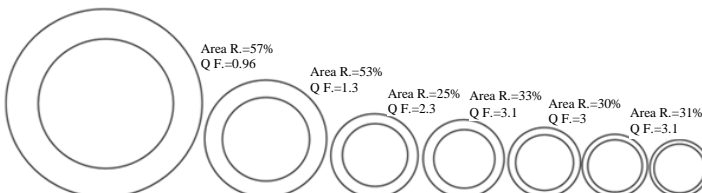
درجه‌ی سانتی‌گراد، در محدوده‌ی پایداری تک فاز β (دیاگرام فازی زیرکنیم و نیوبیم)، پیش‌گرم شده و سپس سریعاً در آب سرد شدند. شمش‌های بتا آب داده شده، پس از حرارت‌دهی در محدوده‌ی دمایی 820°C - 780°C روزن‌رانی شدند. پس از عملیات اسید شویی، شمش‌های روزن‌رانی شده به منظور حذف اثرات سخت‌گردانی کاری، در کوره‌ی خلاء تابکاری شدند و پس از آماده‌سازی سطح برای عملیات نورد کاری سرد، مورد استفاده قرار گرفتند. جدول ۱ ترکیب شیمیایی دو نمونه‌ی استفاده شده را نشان می‌دهد.

۲.۲ طراحی مراحل نورد کاری سرد

طراحی جدید مراحل نورد کاری لوله‌ها با توجه به شرایط دستگاه، کیفیت شمش از نظر سختی و استحکام و ضربی Q ، که تعیین کننده‌ی جهت‌گیری قطب‌های پایه‌ی زیرکنیم (صفحه‌های ۰۰۰۱) در شبکه‌ی شش‌گوش‌هایی (و به تبع آن جهت‌گیری هیدریدها است، انجام شد. عملیات نورد کاری سرد با دو دستگاه نورد سرد دو غلتکی پیلگر^(۳) و دستگاه نورد سه غلتکی LD^{۳۰} انجام شد. مقدار خوراک، چرخش و فشار هیدرولیک دستگاه برای کاهش متغیرها ثابت در نظر گرفته شد. پس از اعمال هر مرحله نورد، نمونه‌ها داخل کوره‌ی حرارتی تحت خلاء به مدت دو ساعت تحت عمل تابکاری قرار گرفتند. شکل‌های ۱ و ۲ میزان کاهش سطح مقطع و ضربی Q را، به ترتیب، برای دو روش ۶ و ۴ مرحله‌ای نورد کاری نشان می‌دهند.

جدول ۱. نتایج تجزیه طیف‌سنگی اتمی و پراش پرتو ایکس (XRF) نمونه‌های استفاده شده

N	Si	Hf	O	Nb	Zr	نوع نمونه
<۶۰ppm	<۷۵ppm	<۱۰۰ppm	.۰۱۵	.۹۵	۹۸.۸	۴ مرحله‌ای (کد ۱)
<۶۰ppm	<۷۵ppm	<۱۰۰ppm	.۰۱۶	.۹۸	۹۸.۷	۶ مرحله‌ای (کد ۲)



شکل ۱. کاهش سطح مقطع‌ها و ضربی‌های Q در مراحل مختلف نورد کاری ۶ مرحله‌ای.

۱. مقدمه

تأثیر هیدروژن بر خواص آلیاژ‌های زیرکنیم مورد استفاده به عنوان مؤلفه‌ی مجمعی سوت خسته‌ای، یکی از عامل‌های مهمی است که کارآیی آلیاژ‌ها را به ویژه در سوختن‌های^(۱) بالاتر تحت تأثیر قرار می‌دهد. با وجود انحلال‌پذیری محدود هیدروژن در زیرکنیم، با توجه به زمان سرویس طولانی آلیاژ در داخل رآکتور، مقدار قابل توجهی هیدروژن جذب و در نتیجه هیدریدهایی با ترکیب شیمیایی مختلف و مقادیر متنوع تشکیل می‌شود که بعضاً دارای جهت‌گیری‌های متفاوتی نیز هستند و اثرات متنوعی در خواص آلیاژ پدید می‌آورند. تُردی هیدروژنی در تغییرات ابعادی قطعه‌ها، به ویژه غلاف سوت و شبکه‌ی نگهدارنده تأثیر دارد و شکل‌گیری هیدرید در لایه‌های سطحی با کاهش مقاومت آلیاژ در برابر خوردگی همراه است [۱].

جهت‌گیری هیدریدها تأثیر تعیین کننده‌ای بر خواص نهایی آلیاژ‌های زیرکنیم دارد. این، می‌تواند عمر مفید لوله‌های سوت را تا حد زیادی کاهش دهد. مشخص شده است که هیدریدهای با جهت‌گیری شعاعی (RH)، تأثیر مخربی بر کش‌پذیری محیطی غلاف‌های سوت دارند [۲، ۳، ۴]. در سال‌های اخیر هم چنین گزارش شده است که جهت‌گیری‌های شعاعی نقش مهمی در ترک‌دار شدن لوله‌های سوت رآکتورهای آب جوشان (BWR) داشته است [۵، ۶]. شرایط شکل‌گیری جهت‌گیری شعاعی، عامل مهمی برای ارزیابی وضعیت لوله‌های سوت است. به همین منظور دامنه‌ی وسیعی از مطالعات نظری و آزمایشگاهی، جهت‌گیری تنشی هیدریدها را دربر گرفته است. این مطالعه‌ها تأثیر عامل‌هایی چون بافت، دما، استحکام، تنش، میزان هیدروژن، اندازه‌ی دانه، چرخه‌های حرارتی و سرد کاری بر جهت‌گیری هیدریدها را نشان داده‌اند [۷، ۸، ۹، ۱۰، ۱۱، ۱۲، ۱۳، ۱۴]. در این مطالعه سعی شده است اثر خاص فرایند سرد کاری بر میزان جهت‌گیری هیدریدی و خواص خوردگی آلیاژ زیرکنیم - (۱٪) نیوبیم مورد بررسی قرار گیرد.

۲. نحوه آزمایش

۱.۲ تهیه و آماده‌سازی نمونه

در این پژوهش از محصول‌های نورد کاری آلیاژ زیرکنیم - (۱٪) نیوبیم به دست آمده از آلیاژسازی اسفنج زیرکنیم و ریخته‌گری در فرایند بازذوب در کوره‌ی قوسی تحت خلاء (VAR)^(۲)



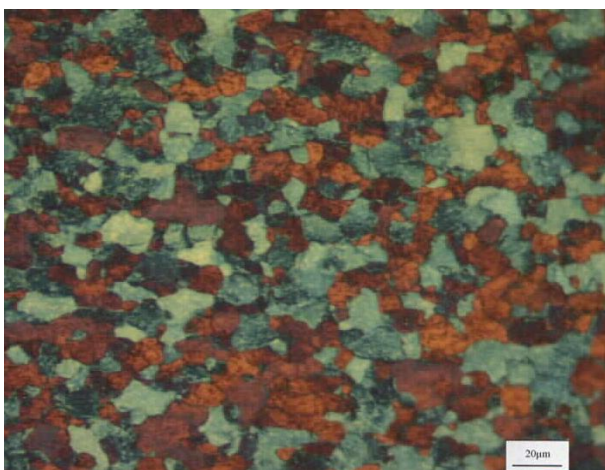
۵.۳.۲ آزمایش خوردگی و کسر هیدرید

برای مقایسه‌ی نتایج خوردگی، از آزمون اتوکلاو در شرایط 400°C با فشار بخار آب $10.5 \pm 0.1 \text{ MPa}$ و مقاومت الکتریکی 0.2 در $\text{pH}=7$ در مدت 72 ساعت، استفاده شد. برای اندازه‌گیری کسر هیدرید، از استاندارد ASTM B811-03 استفاده شد؛ هیدریداسیون به روش گازی و اندازه‌گیری براساس شمارش هیدریدهای دارای زاویه‌ی بحرانی 40 درجه (بین جهت هیدرید و جهت شعاعی لوله) و پایین تر انجام شد. مقاطع عرضی به وسیله‌ی میکروسکوپ نوری مورد بررسی قرار گرفتند.

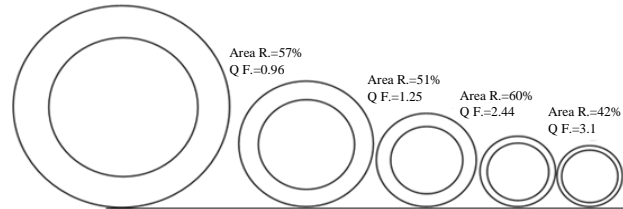
۳. نتایج و بحث

۳.۱ نتایج آزمون‌های فلزتگاری و اندازه‌ی دانه

شکل‌های 3 و 4 تأثیر عملیات نوردکاری 4 و 6 مرحله‌ای بر ریزساختار لوله‌ی نهایی شده بعد از عملیات تابکاری و تاب‌گیری را نشان می‌دهند. همان‌طور که مشاهده می‌شود، ریزساختار نمونه‌ی چهار مرحله‌ای دارای دانه‌های ریزتر و کاملاً تبلور مجدد یافته بوده و کشیدگی ناشی از نوردکاری پیش از آن دانه‌ها به ندرت دیده می‌شود. نمونه‌ی 6 مرحله‌ای که دارای میزان کاهش سطح مقاطع کمتر و تابکاری بیشتر در طی فرایند تولید است، همان‌طور که انتظار می‌رفت، دارای ریزساختار درشت‌تر، کشیده‌تر و ناهمگون‌تری است. بررسی کمی ابعاد دانه‌ها در هر دو روش نشان داد که میانگین اندازه‌ی دانه‌ها در روش 6 مرحله‌ای بزرگ‌تر از 20 میکرون و در روش 4 مرحله‌ای کمتر از این مقدار است.



شکل ۳. ریزتگار نمونه‌ی نوردکاری 4 مرحله‌ای.



شکل ۲. کاهش سطح مقاطع‌ها و ضریب Q در مراحل مختلف نوردکاری 4 مرحله‌ای.

۳.۲ آزمون‌های انجام شده

۳.۲.۱ تعیین ترکیب شیمیایی

برای اطمینان از ترکیب شیمیایی محصول و بعد از ریختگی و عملیات همگن‌سازی، نمونه‌هایی به صورت توode و براده برای انجام تجزیه‌های شیمیایی تهیه شد. آزمون تعیین ترکیب شیمیایی محصول به صورت ترکیبی از روش‌های مختلف پلاسمای جفت‌شده‌ی القایی (ICP)، فلورسانسی پرتوا ایکس (XRF) و جذب اتمی (AA) بود.

۳.۲.۲ آزمون فلزتگاری و اندازه‌ی دانه

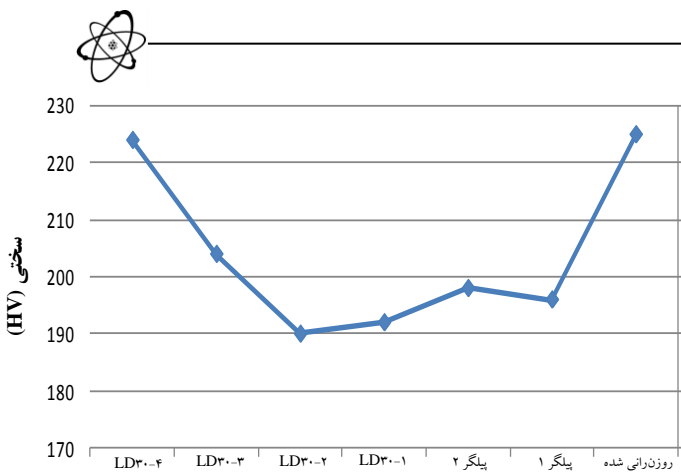
آماده‌سازی نمونه‌ها طبق استاندارد ASTM E3-05 به روش الکتروپولیش و رنگ‌دهی حرارتی انجام شده، مقاطع عرضی نمونه، مورد بررسی قرار گرفت. آزمون اندازه‌ی دانه نیز به روش مقایسه‌ای و بر طبق استاندارد ASTM E112-04 به انجام رسید.

۳.۲.۳ آزمون سختی‌سنجدی و کشش

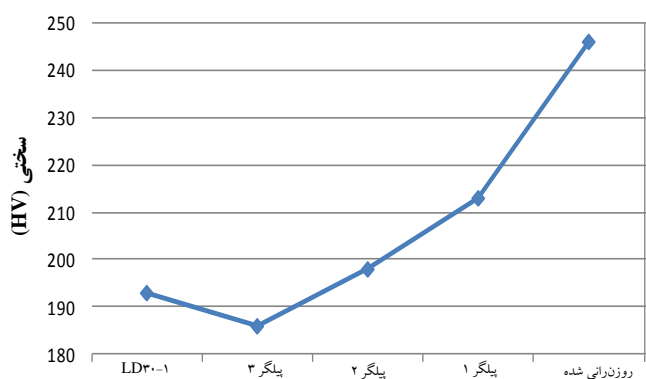
سختی‌سنجدی نمونه‌ها در مراحل مختلف نوردکاری، به روش ویکرز و با استاندارد مرجع ASTM E92-03 در مقاطع عرضی نمونه‌ها به انجام رسید. آزمون کشش نیز با دستگاه SANTAM ۱۵ TONS با نرخ کرنش 0.007 mm/s در دمای محیط و طبق استاندارد ASTM B811-02 انجام شد، برای اندازه‌گیری ابعادی از کولیس استفاده شد. پردازش داده‌ها نیز براساس استاندارد ASTM E29-02 انجام شد. برای اطمینان از نتایج، سه نمونه کشش در روش تهیه و استفاده شد.

۴. آزمون پراش پرتوا ایکس

به منظور بررسی تأثیر سردکاری بر بافت، نمونه‌های پودر (بافت تصادفی) اسفنج زیرکنیم و توode (بافت مرجح) زیرکنیم آمیخته شده با نیوبیم، به وسیله‌ی پراش پرتوا ایکس در زوایای 10 تا 90 درجه مورد تجزیه قرار گرفتند.



شکل ۵. نتایج آزمون سختی سنجی نمونه‌ی نوردکاری شش مرحله‌ای.



شکل ۶. نتایج آزمون سختی سنجی نمونه‌ی نوردکاری چهار مرحله‌ای.

نتایج آزمون کشش لوله‌های غلاف نهایی برای این دو روش در جدول ۲ نشان داده شده است. نتایج نشان داده شده میانگین نتایج سه آزمون در هر روش است.

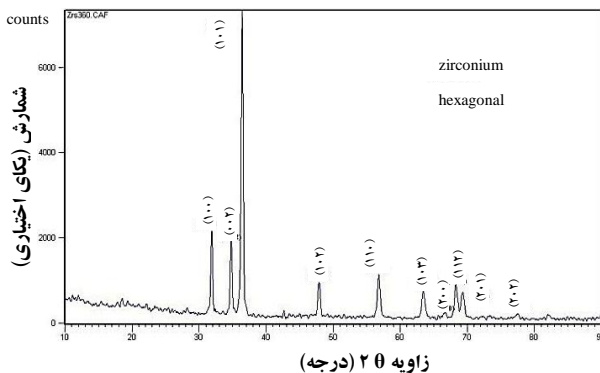
با مقایسه اعداد جدول ۲ می‌توان مشاهده کرد که، همان‌طور که انتظار می‌رفت تنش تسلیم و نهایی نمونه‌های نوردکاری ۴ مرحله‌ای بیشتر از نمونه‌های ۶ مرحله‌ای است. این موضوع را می‌توان به ریزساختار کوچک‌تر نمونه‌های ۴ مرحله‌ای و تداخل نابهجه‌ها و قفل شدن آن‌ها نسبت داد. البته این در حالی است که اصولاً افزایش سختی و استحکام با کاهش کش‌پذیری (که در اینجا درصد افزایش طول نمونه معیاری از آن است) همراه است؛ در صورتی که در نمونه‌ی ۴ مرحله‌ای این کاهش مشاهده نمی‌شود. این حاکی از آن است که ریزدانه کردن در این آلیاز در عین افزایش سختی و استحکام با حفظ کش‌پذیری همراه بوده است. شایان ذکر است که مقادیر تنش تسلیم، تنش نهایی و ازدیاد طول در هر دو روش از مقادیر استاندارد آن‌ها برای استفاده در رآکتور بالاتر است.



شکل ۷. ریزنگار نمونه‌ی نوردکاری ۶ مرحله‌ای.

۲.۳ آزمون‌های سختی سنجی و کشش

به منظور شناخت و درک هر چه بهتر تأثیر نحوه عملیات نوردکاری سرد بر رفتار مکانیکی نمونه‌ها، در هر مرحله بعد از عملیات تابکاری، سختی اندازه‌گیری شد. در شکل‌های ۵ و ۶ نتایج آزمون سختی از مرحله‌ی بعد از روزنرانی تا مرحله‌ی نهایی برای دو نمونه نمایش داده شده است. همان‌طور که مشاهده می‌شود، سختی نمونه‌های شش و چهار مرحله‌ای چندان تفاوتی در مراحل میانی نداشتند و تنها نزول سختی و صعود مجدد آن در مراحل آخر نوردکاری قابل ملاحظه است. با توجه به کیفی بودن آزمون سختی نمی‌توان از شکل‌های ۴ و ۵ نتیجه‌ی قطعی گرفت؛ کاهش بیشتر سختی در نمونه‌های ۴ مرحله‌ای به دلیل میزان سردکاری بیشتر را با توجه به میزان کاهش سطح مقطع‌های آن شاید بتوان به تبلور مجدد کامل و تشکیل دانه‌های عاری از تنفس نسبت داد. لازم به ذکر است که در مراحل نوردکاری و تابکاری متعاقب آن در فرایند ساخت لوله، دو فرایند (۱) سخت‌گردانی- بازیابی و تبلور مجدد و (۲) رسوب گذاری ذرات غنی از نیویم سخت از ساختار فوق اشباع اولیه، در تقابل با یک‌دیگرند. از آن‌جایی که دمای تابکاری بعد از تمامی مراحل نوردکاری یکسان است، رفتار بازیابی یا تبلور مجدد شدیداً تحت تأثیر میزان سردکاری اولیه قرار دارد. در یک دمای تابکاری یکسان، هر چه درصد سردکاری بیشتر تبلور مجدد به صورت یکنواخت‌تر انجام می‌شود. اما نباید فراموش کرد که با هر مرحله تابکاری اضافی، مطابق دیاگرام فازی دوتایی Zr-Nb رسوب گذاری بیشتری از فاز غنی از نیویم اتفاق می‌افتد و این در ادامه بر روند کاهش سختی ناشی از اثرات بازیابی غلبه کرده، در مراحل انتهایی افزایش سختی محصول را به دنبال دارد.



شکل ۷. الگوی پراش نمونه اسفنج زیرکنیم.

در شکل‌های ۸ و ۹ الگوی پراش پرتو ایکس نمونه نوردکاری، به ترتیب، ۶ و ۴ مرحله‌ای نشان داده شده است. همان‌طور که مشاهده می‌شود، جهت‌گیری ترجیحی صفحه‌های (۰۰۰۱) با شدت حدود ۶۰۰۰ نسبت به حالت تصادفی کاملاً مشخص است. با این حال برخی قله‌ها مثل (۰۰۱۰) تضییف و برخی دیگر مثل (۰۰۱۰)، (۰۰۲۲)، (۰۰۲۲) تا ۱۰ برابر تقویت شده‌اند. مقایسه دو نمونه با هم نشان می‌دهد که شدت قله‌ای صفحه‌های (۰۰۰۱) در هر دو نمونه کاملاً یکسان و تنها تفاوت چشم‌گیر در شدت صفحه‌های (۰۰۱۰) و (۰۰۲۲) است. این نشان از بافت دار شدن شدید این آلیاز مشابه دیگر آلیازهای خانواده‌ی زیرکنیم دارد. البته باید در نظر داشت این مقایسه به طور نیمه کمی بوده و هم‌چنین نمی‌تواند وضعیت بافت تقویت شده یا تضییف شده را نسبت به جهت نورد نشان دهد. برای این کار نیاز است از تصویرهای قطبی استفاده شود که در کشور عملاً قابل انجام نیستند ولی در کل، نمایان گر جهت‌گیری ترجیحی این صفحه‌ها نسبت به حالت تصادفی هستند. به عبارت دیگر نمی‌توان نتیجه گرفت که افزایش شدت صفحه‌های (۰۰۰۱)، به معنی جهت‌گیری مناسب هیدریدها است و برای این امر نیاز به آزمون‌های تکمیلی مثل توزیع کسر جهت‌گیری هیدرید است. از این‌رو آزمون مذکور برای نمونه‌های نوردکاری ۶ و ۴ مرحله‌ای انجام شد که نتایج آن در شکل‌های، به ترتیب، ۱۰ و ۱۱ نشان داده شده است. در این شکل‌ها رشته‌های چند ده میکرونی هیدرید در سه لایه‌ی مختلف ضخامت به تصویر کشیده شده‌اند. آن‌چه از تصاویر مشخص است، این است که هیدریدها که عمدتاً با توجه به شرایط آزمون هیدریداسیون با ریخت‌شناسی ظاهر می‌شوند، در نمونه نوردکاری ۶ مرحله‌ای دارای نایکنواختی جهت‌گیری هستند که عمدتی این نایکنواختی در لایه‌ی خارجی به چشم می‌خورد. در این لایه بخش عمدتی از هیدریدها در راستای شعاعی لوله جهت‌گیری نموده‌اند که این

جدول ۲. نتایج آزمون کشش نمونه‌های نوردکاری چهار و شش مرحله‌ای

نمونه‌ی مورد بررسی	تش تسلیم (MPa)	تش نهایی (MPa)	دistanse ازدیاد طول	عدد اندازه‌ی دانه
نمونه‌ی ۱ (۴ مرحله نورد)	۳۹۴	۵۲۹	۳۲	۱۰
نمونه‌ی ۲ (۶ مرحله نورد)	۳۲۲	۴۸۳	۳۱	۹
حد کمینه‌ی مشخصه‌ی قابل قبول	۲۰۰	۲۷۰	۲۸	بزرگتر از ۷

۳.۳ برسی کسر هیدرید و رفتار خوردگی

پدیده‌ی خوردگی و کسر هیدرید سال‌ها مورد توجه کارشناسان هسته‌ای بوده است و هر از گاهی این موضوع به طور پراکنده مورد بررسی قرار گرفته است. برخی، مشکلات این بخش را به اعمال تش‌های پلاستیک در مرحله‌ی صاف کردن نهایی لوله و برخی دیگر آن را به عدم تشکیل بافت مناسب یعنی، جهت‌گیری نامناسب صفحه‌های (۰۰۰۱)، که قایده‌ی منشور شبکه‌ی شش‌گوشه‌ای است، ارتباط داده‌اند. با مطالعه‌ی مقاله‌های موروری در این زمینه نیز می‌توان به نقش مهم‌تر این عامل‌ها نسبت به سایر عامل‌ها در ایجاد خوردگی و افزایش میزان کسر هیدریدی (مقدار پارامتر f_{II}) پی برد. صفحه‌های (۰۰۰۱) صفحه‌های (hcp) هستند که در صورت تشکیل به موازات صفحه‌ی نوردکاری، خواص خوردگی و هیدریدی مناسبی از خود نشان می‌دهند. اما تشکیل چنین بافتی نیاز به کنترل دقیق شرایط از ریخته‌گری تا عملیات نهایی دارد.

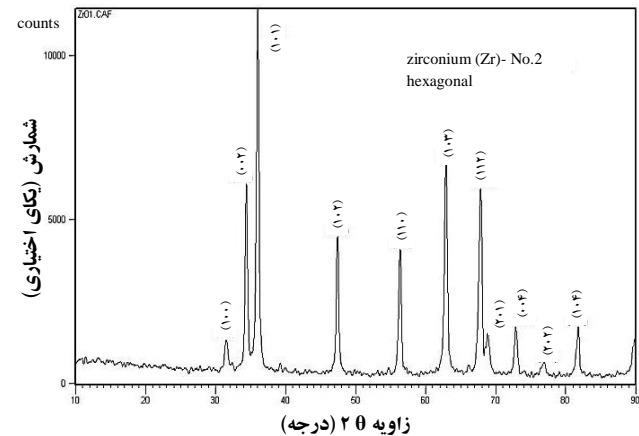
برای درک تأثیر کاهش سطح مقطع‌های مختلف در عملیات نوردکاری سرد بر تشکیل بافت، نمونه‌ای از اسفنج زیرکنیم ریزدانه که دارای بافت کاملاً تصادفی بود، با استفاده از پراش پرتو ایکس مورد تجزیه قرار گرفت؛ الگوی پراش در شکل ۷ آورده شده است. با توجه به پودری بودن نمونه، این شکل شاهدی از یک بافت کاملاً تصادفی از صفحه‌های مختلف زیرکنیم، و مطابق با قله‌های مندرج در کتاب هاناوال است. وجود قله‌ی بزرگ مریبوط به صفحه‌ی (۰۰۱۰)، که در شکل ۷ به صورت (۱۰۱) نشان داده شده است، به دلیل کثرت این صفحه‌ها (۱۲ عدد از این خانواده) در شبکه‌ی شش‌گوشه‌ای فشرده نسبت به سایر صفحه‌ها است. همان‌طور که مشخص است، شدت صفحه‌های (۰۰۰۲) که معادل صفحه‌های (۰۰۰۱) ترجیحی برای رسوب گذاری هیدرید هستند، حدود ۲۰۰۰ است. صفحه‌های (۰۰۱۰) که در شکل با (۱۰۰) نشان داده شده‌اند، صفحه‌های جانبی شش‌گوشه‌ای هستند که در هر شبکه‌ی واحد، ۶ عدد از آن‌ها وجود دارد. لذا همان‌طور که انتظار می‌رود، بعد از صفحه‌های (۰۰۱۰) این صفحه‌ها دارای بیشترین شدت هستند.



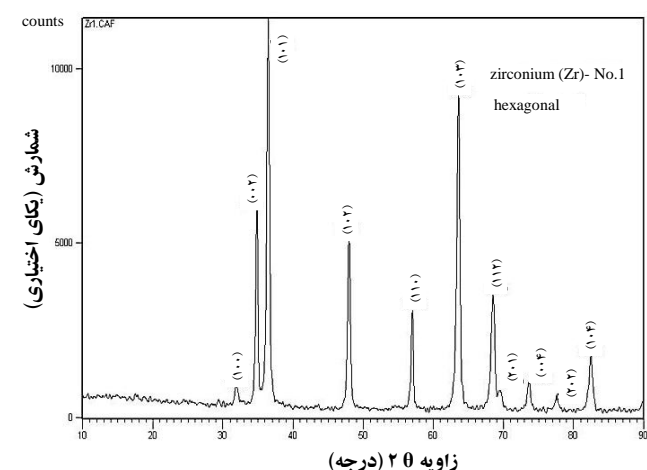
شکل ۱۱. جهت‌گیری هیدرید در قسمت‌های مختلف نمونه‌ی نورد کاری ۴ مرحله‌ای ($\times 100$).

برای بررسی جذب H، اصولاً آزمون‌های خوردگی خارج از رآکتور نورد استفاده قرار می‌گیرد. کسر هیدروژن جذب شده در طی فرایند خوردگی، براساس بازه‌ی زمانی فرایند خوردگی تا حدودی متفاوت است بدین صورت که هر چه میزان خوردگی بیشتر باشد، میزان جذب هیدروژن نیز بیشتر خواهد بود. لذا بررسی رفتار خوردگی اهمیت زیادی دارد. بررسی‌های خوردگی انجام شده در این پژوهش نشان می‌دهند که نمونه‌های نورد کاری ۴ مرحله‌ای دارای رفتار خوردگی یکنواخت بهتری نسبت به نمونه‌های نورد کاری ۶ مرحله‌ای هستند. وجود رگه‌ها و لکه‌های سفید رنگ ZrO_2 با ساختار چهارگوش‌های روی سطح نمونه‌ی نورد کاری ۶ مرحله‌ای با میانگین نرخ خوردگی 2.70 g/m^2 در مقایسه با نمونه‌های نورد کاری ۴ مرحله‌ای با نرخ خوردگی 1.60 g/m^2 مؤید این مطلب است که با وجود ریزدانه‌ای بودن ریزساختار نمونه‌های نورد کاری ۴ مرحله‌ای، رفتار خوردگی بهتری به دست آمده است. لازم به ذکر است که علاوه بر اندازه‌ی دانه، عامل‌های متعدد دیگری نیز وجود دارند که در زمینه‌ی خواص خوردگی آلیاژ‌های زیرکنیم مؤثرند؛ از آن جمله می‌توان به ریخت‌شناسی و نوع رسوب‌های ثانویه، میزان بازیابی یا تبلور مجدد ساختار و وجود تنش در ریزساختار اشاره نمود. از آنجایی که در شیوه‌ی ۴ مرحله‌ای، تعداد عملیات تابکاری از ۷ مرحله به ۵ مرحله کاهش یافته است و کاهش اندازه‌ی دانه‌ها چه در طی نورد کاری‌های سنگین‌تر و چه پس از تابکاری، مسیرهای نفوذ کوتاه‌تری را فراهم ساخته است، در مقایسه با ریزساختار نمونه‌ی نورد کاری ۶ مرحله‌ای می‌توان توزیع و اندازه‌ی متفاوت تری از رسوب‌های فاز دوم، که عملده‌ی رسوب‌های غنی از نیوبیم هستند، انتظار داشت. البته در این پژوهش با توجه به عدم دسترسی به امکانات لازم، بررسی رسوب‌ها برای اثبات این فرض میسر نشد.

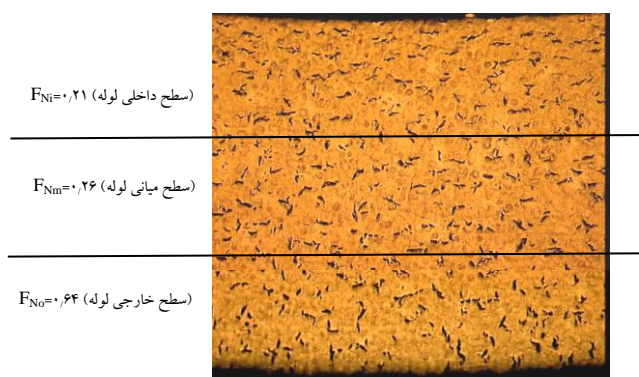
وضعیت جزء جهت‌گیری‌های شدیداً نامطلوب هیدرید در غلاف سوخت است. این در حالی است که با توجه به شکل ۱۱ این جهت‌گیری برای نمونه‌ی نورد کاری ۴ مرحله‌ای، مطلوب و مطابق با دیگر سطوح ضخامتی است.



شکل ۸. الگوی پراش پرتو ایکس نمونه‌ی نهایی نورد کاری ۶ مرحله‌ای.



شکل ۹. الگوی پراش پرتو ایکس نمونه‌ی نهایی نورد کاری ۴ مرحله‌ای.



شکل ۱۰. جهت‌گیری هیدرید در قسمت‌های مختلف نمونه‌ی نورد کاری ۶ مرحله‌ای ($\times 100$).



پی‌نوشت‌ها

۱. Higher Burnup
۲. Vacum Arc Remelt
۳. Pilger

مراجع

1. B. Cox, P. Rudling, Hydriding mechanisms and impact on fuel performance, Advanced Nuclear Technology, Uppsala Science Park, SWEDEN.
2. M. R. Louthan, R. P. Marshall, Control of hydride orientation in Zircaloy, J. Nuclear Material, 9 (1963) 170–184.
3. S. K. Yagnik, R-CKuo, Y. R. Rashid, A. J. Machiels, R. L. Yang, Effect of hydrides on the mechanical properties of Zircaloy-4, Proc. 2004 Int. Meeting on LWR Fuel Performance, Orlando, Florida, Sept. 19–22, 2004, 1089, (2004) 191-199.
4. J. Bai, C. Prioul, D. Francois, Hydride embrittlement in Zircaloy-plate: part 1. Influence of microstructure on the hydride embrittlement in Zircaloy-4 at 20C and 350C, Metall. Trans. A, 25A (1994) 1185-1197.
5. S. Shimada, E. Etoh, H. Hayashi, Y. Tukuta, A metallographic and fractographic study of outside-in cracking caused by power ramp tests, J. Nuclear Material, 327 (2004) 97–113.
6. F. Nagase, T. Fuketa, Influence of hydride re-orientation on BWR cladding rupture under accidental conditions, J. Nuclear Science Tech., 41 [12] (2004) 1211–1217.
7. D. Hardie, M. W. Shanahan, Stress reorientation of hydrides in zirconium-2.5% niobium, J. Nuclear Material, 55 (1975) 1–13.
8. G. W. Parry, Stress reorientation of hydrides in cold-worked Zirconium-2.5% Niobium pressure tubes, AECL-2624, 1 (1996).
9. R. P. Marshall, Influence of fabrication history on stress-oriented hydrides in Zircaloy tubing, J. Nuclear Material, 24 (1967) 34–48.
10. J. J. Kearns, C. R. Woods, Effect of texture, grain size, and cold work on the precipitation of oriented hydrides in Zircaloy tubing and plate, J. Nuclear Material, 20 (1966) 241–261.

رادلین و همکاران در سال ۱۹۹۹، در بحث توزیع اندازه‌ی رسوب‌های فاز ثانویه و اثر آن بر میزان خوردگی و هیدریداسیون، وجود چگالی بالاتر ذرات فاز ثانویه با اندازه‌ی متوسط (در مقایسه با ذرات ریزتر یا به مراتب درشت‌تر) را مطلوب‌تر گزارش کردند [۱۵]. البته این موضوع نیاز به بررسی‌های بیش‌تر دارد.

۴. نتیجه‌گیری

- طراحی فرایند نوردکاری می‌تواند به طور مشخص بر خواص ریزساختاری، مکانیکی، خوردگی و هیدریداسیون غلاف‌های سوخت زیرکنیم-(۱٪) نیویم تأثیرگذار باشد.
- کاهش تعداد مراحل نوردکاری از طریق افزایش میزان کاهش سطح مقطع‌ها می‌تواند به نحو مطلوبی بر جهت گیری هیدرید و خواص خوردگی تأثیرگذار باشد در عین این که کاهش اندازه‌ی دانه را نیز به همراه دارد.
- با توجه به نتایج پرتو ایکس نمونه‌های آلیاژ زیرکنیم-(۱٪) نیویم و از مقایسه‌ی آن‌ها با نتایج نمونه‌های با بافت تصادفی، مشخص شد که این آلیاژ در طی نوردکاری، شدیداً بافت‌دار شده و صفحه‌های (۰۰۰۱)، (۰۰۰۲) یا (۱۱۲۲) و (۱۰۱۲) نسبت به حالت تصادفی کاملاً تقویت شده‌اند.
- تغییر طراحی مراحل نورد توانست به میزان مطلوبی وضعیت جهت‌گیری هیدریدها در لایه‌ی خارجی ضخامت لوله را اصلاح نماید.
- به نظر می‌رسد با وجود ریزدانه‌ای شدن نمونه‌های نوردکاری ۴ مرحله‌ای، خواص خوردگی بهبود یافته است که می‌توان آن را به دیگر عوامل اصلاح‌کننده‌ی خواص خوردگی نظری ریخت‌شناسی و نوع رسوب‌های ثانویه، میزان بازیابی یا تبلور مجدد ساختار و میزان تشش در ریزساختار در طی تغییر مراحل نوردکاری ربط داد.

تشکر و قدردانی

در پایان بر خود لازم می‌دانیم از مدیریت محترم عامل شرکت سوره، ریاست مجتمع، معاونت و مدیریت بهره‌برداری و هم‌چنین تمامی پرسنل کارگاه نورد سرد که ما را در رسیدن به اهداف این پژوهش یاری رسانده‌اند تشکر کنیم. هم‌چنین از واحدهای آزمایشگاهی درگیر در این کار پژوهشی، صمیمانه قدردانی می‌کنیم.



- 11.M. Leger, A. Donner, The effect of stress on orientation of hydrides in zirconium alloy pressure tube materials, *Can. Metall. Q.*, 24[3] (1985) 235–243.
- 12.J. B. Bai, C. Prioul, D. Francois, Effect of microstructure factors and cold work on the hydride precipitation in Zircaloy-4 sheet, *J. Adv. Science*, 3[4] (1991) 188.
- 13.Y. Mishima, T. Okubo, Effect of thermal cycling on the stress orientation and circumferential ductility in Zircaloy-2, *Can. Metall. Q.*, 11[1] (1972) 157–164.
- 14.R. P. Marshall, Control of hydride orientation in Zircaloy by fabrication practice, *J. Nuclear Material*, 24 (1967) 49–59.
- 15.P. Rudling and G. Wikmark, A unified model of Zircaloy BWR corrosion and hydriding mechanisms, *J. Nuclear Material*, 265 (1999) 44–59.